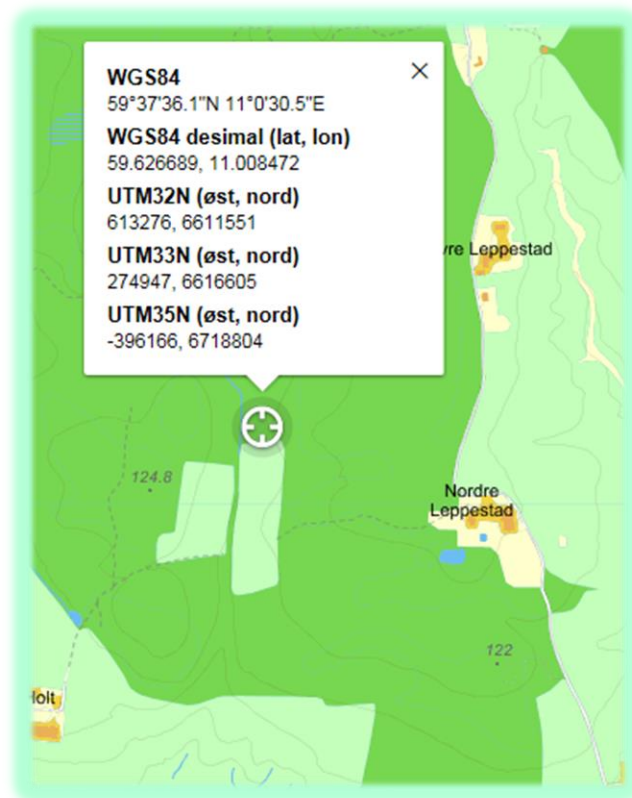


Rapport

Flystøysoner etter T-1442/2012 for Holt helikopterplass Hobøl

Forfatter(e)

Idar Ludvig Nilsen Granøien



Rapport

Flystøysoner etter T-1442/2012 for Holt helikopterplass Hobøl

EMNEORD:
helikopter; Flystøy;
Akustikk

RAPPORTNR
SINTEF A27576

VERSJON
1.0

DATO
2016-02-25

FORFATTER(E)
Idar Ludvig Nilsen Granøien

OPPDRAGSGIVER(E)
Nor Aviation AS

OPPDRAGSGIVERS REF.
Ole-Petter Berge

ANTALL SIDER OG VEDLEGG:
18+ 0 vedlegg

GRADERING
Unrestricted

GRADERING DENNE SIDE
Unrestricted

ISBN
978-82-14-05930-4

SAMMENDRAG

Det er gjennomført beregninger av flystøy i henhold til retningslinje T-1442/2012 fra Klima- og Miljøverndepartementet for en planlagt helikopterplass på Holt i Hobøl kommune. Beregningene er foretatt med NORTIM, som tar hensyn til topografi ved beregning av lydutbredelse. Resultatene inngår som en del av underlaget for konsesjonssøknad for landingsplassen. Beregningene viser at støysonene ikke berører bebyggelse som har et støyømfintlig bruksformål.

UTARBEIDET AV
Idar Ludvig Nilsen Granøien

KONTROLLERT AV
Rolf Randeberg

GODKJENT AV
Odd Pettersen

Dokumentet har gjennomgått SINTEFs godkjenningprosedyre og er sikret digitalt

Historikk

VERSJON	DATO	VERSJONSBEKRIVELSE
1.0	2016-02-26	Publisert versjon

Innholdsfortegnelse

1	INNLEDNING.....	4
2	GENERELT OM FLYSTØY	5
2.1	Flystøyens egenskaper og virkninger	5
2.1.1	Søvnforstyrrelse som følge av flystøy	5
2.1.2	Generell sjenanse som følge av flystøy.....	6
3	MILJØVERNDEPARTEMENTETS RETNINGSLINJE	7
3.1	Måleenheter	7
3.2	Støysoner til arealplanlegging	8
3.2.1	Definisjon av støysoner	8
3.2.2	Utarbeidelse av støysonekart og implementering i kommunale planer	8
3.3	Beregningsmetode.....	9
3.3.1	Dimensjonering av trafikkgrunnet.....	9
3.3.2	Beregningsprogrammet NORTIM.....	9
4	KARTLEGGING I HENHOLD TIL FORSKRIFT TIL FORURENSNINGSLOVEN	11
4.1	Innendørs støy	11
4.1.1	Strategisk støykartlegging	11
5	OMGIVELSER.....	13
5.1	Digitalt kartgrunnlag og topografi	13
6	TRAFIKKSAMMENSETNING	14
7	TRAFIKKMØNSTER.....	15
8	BEREGNINGER OG RESULTATER	16
9	LITTERATUR.....	17

1 INNLEDNING

Nor Aviation AS har gitt SINTEF i oppdrag å utarbeide støysonekart for Holt helikopterplass Hobøl i henhold til retningslinje T-1442/2012 for en planlagt aktivitet innenfor neste ti års periode.

Hos oppdragsgiver har kontaktperson vært Ole-Petter Berge, som har levert grunnlaget for beregningen. Ved SINTEF IKT, avdeling akustikk er prosjektet bearbeidet av Idar Ludvig Nilsen Granøien, med Rolf Tore Randeberg som kvalitetssikrer og Odd Kristen Østern Pettersen som prosjektansvarlig.

2 GENERELT OM FLYSTØY

Hensikten med dette kapitlet er å gi en forenklet innføring om hvordan flystøy virker på mennesker. Framstillingen baserer seg på anerkjent viten fra det internasjonale forskningsmiljøet.

2.1 Flystøyens egenskaper og virkninger

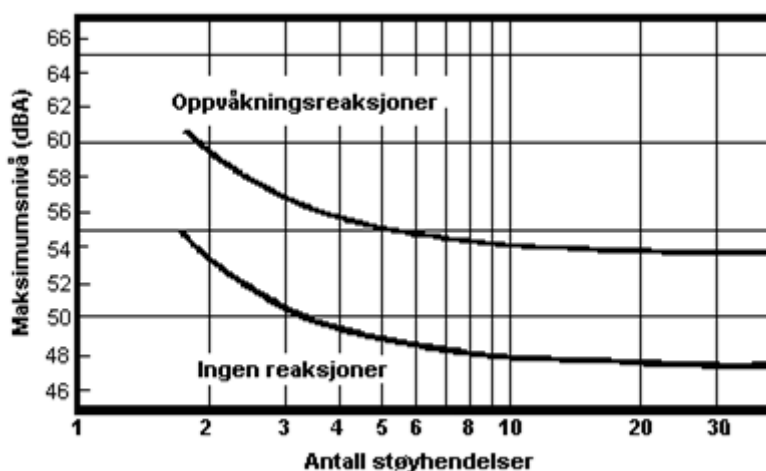
Flystøy har en del spesielle egenskaper som gjør den forskjellig fra andre typer trafikkstøy. Varigheten av en enkelt støyhendelse er forholdsvis lang, nivåvariasjonene fra gang til gang er gjerne store og støynivåene kan være kraftige. Det kan også være lange perioder med opphold mellom støyhendelsene. Flystøyens frekvensinnhold er slik at de største bidrag ligger i ørets mest følsomme område og det er derfor lett å skille denne lyden ut fra annen bakgrunnsstøy; så lett at man ofte hører flystøy selv om selve støynivået ikke beveger seg over nivået bakgrunnsstøyen.

Folk som utsettes for flystøy rapporterer flere ulemper. De to viktigste typer er forstyrrelse av søvn eller hvile og generell irritasjon eller sjenanse. Det er viktig å merke seg at fare for hørselsskader begrenses til de personer som jobber nær flyene på bakken.

2.1.1 Søvnforstyrrelse som følge av flystøy

Det er bred internasjonal enighet om at **vekking** som følge av flystøy kan medføre en risiko for helsevirkninger på lang sikt, se litteraturlisten ref. [1]. Det er **ikke** konsensus på hvorvidt **endring av søvnstadium** (søvnndybde) har noen negativ effekt alene, dersom dette ikke medfører vekking. (Disse betraktninger kan ikke anvendes for andre typer trafikkstøy hvor støynivået varierer mindre og ikke er totalt fraværende i perioder slik som flystøy kan være.)

Risiko for vekking er avhengig av hvor høyt støynivå en utsettes for (maksimumsnivå) og hvor mange støyhendelser en utsettes for i løpet av natten. Det er normalt store individuelle variasjoner på når folk reagerer på støyen. Derfor brukes oftest en gitt sannsynlighet for at en andel av befolkningen vekkes for å illustrere hvilke støynivå og antall hendelser som kan medføre vekking, som illustrert i Figur 2-1.



Figur 2-1. 10 % sannsynlighet for vekking resp. søvnstadiumsendring. Sammenheng mellom maksimum innendørs støynivå og antall hendelser [1].

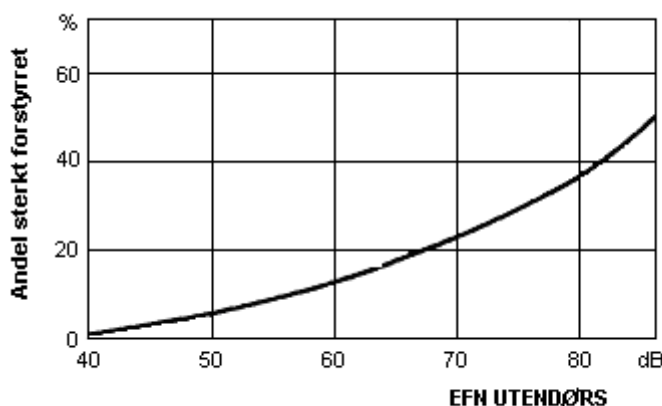
Figuren viser at man tåler høyere støynivå uten å vekkes dersom støynivået opptrer sjelden. Når det blir mer enn ca. 15 støyhendelser i søvnperioden er ikke antallet så kritisk lenger. Da er det 10 % sjanse for vekking dersom nivåene overstiger 53 dBA i soverommet.

2.1.2 Generell sjenanse som følge av flystøy

Generell støysjenanse kan betraktes som en sammenfatning av de *ulemp*er som en opplever at flystøyen medfører i den perioden man er våken. De mest vanlige beskrivelser er knyttet til *stress og irritasjon*, samt *forstyrrelser ved samtale og lytting* til radio, fjernsyn og musikk (se [2-6] for en grundigere beskrivelse). Det er mulig å kartlegge disse faktorene enkeltvis og samlet gjennom spørreundersøkelser i støyutsatte områder.

Det er gjort en rekke undersøkelser hvor flystøy er relatert til ekvivalent støynivå, “gjennomsnittsnivået”. Figur 2-2 fra ref. [3] viser en gjennomsnittss middelkurve for de som ble ansett som de mest pålitelige av disse undersøkelsene. Antallet som føler seg “sterkt forstyrret” av flystøy er relatert til den norske måleenhet ekvivalent flystøynivå (EFN).

En stor undersøkelse fra Fornebu bekreftet i store trekk både kurveform og rapportert sjenanse for flystøy ved de normalt forekommende belastningsnivåer i boligområder innenfor flystøysonene [4]. Tilsvarende funn ble gjort ved Værnes og i Bodø [5].



Figur 2-2. Middelkurve for prosentvis antall sterkt forstyrret av flystøy som funksjon av ekvivalent flystøynivå utendørs [3].

3 MILJØVERNDEPARTEMENTETS RETNINGSLINJE

Miljøverndepartementet ga i juli 2012 ut retningslinje T-1442/2012 for behandling av støy fra forskjellige støykilder [7]. Denne erstattet retningslinje T-1442 fra januar 2005. T-1442 endret i sin tid både måleenheter og definisjoner av støysoner.

3.1 Måleenheter

En sammensatt støyindikator, som på en enkel måte skal karakterisere den totale flystøybelastning, og derved være en indikator for flest mulige virkninger, må ta hensyn til følgende faktorer ved støyen: Nivå (styrke), spektrum (farge), karakter, varighet, samt tid på døgnet. Måleenheten for flystøy må i rimelig grad samsvare med de ulemper som vi vet flystøy medfører. Et høyt flystøynivå må indikere høy ulempe.

På begynnelsen av 1980-tallet ble det i Norge utarbeidet to spesielle enheter for karakterisering av flystøy, nemlig Ekvivalent Flystøynivå (EFN) og Maksimum Flystøynivå (MFN), begge basert på lydnivåmålinger i dBA. Enhetene ble definert i ref. [6] og lagt til grunn i retningslinjen fra 1984 og senere i 1999. MFN var definert som det høyeste A-veide lydnivå som regelmessig forekommer i et observasjonspunkt, og som klart kan tilskrives flyoperasjoner. "Regelmessig" ble definert til en hyppighet på minimum 3 ganger per uke.

Ved innføringen av ny retningslinje i 2005 ble enhetene erstattet med henholdsvis L_{den} og L_{5AS} .

L_{den} er det mål som EU har innført som en felles måleenhet for ekvivalentnivå. Måleenheten legger forskjellig vekt på en støyhendelse i forhold til når på døgnet hendelsene forekommer. På kveld legges det til 5 dB til den reelle støyen og på natt adderes 10 dB. Et tillegg på 5 dB på ekvivalentnivået tilsvarer at ett fly på kveld teller som drøyt 3 på dagtid, mens ett fly på natt teller som 10 på dag. T-1442/2012 følger den internasjonalt mest vanlige inndelingen av døgnet ved at dagtid er definert fra kl. 07 til 19, kveld er mellom kl. 19 og 23, mens natta strekker seg fra kl. 23 til 07.

Maksimumsnivået L_{5AS} er i [7] definert som det lydnivå "som overskrides av 5 % av hendelsene i løpet av en nærmere angitt periode, dvs. et statistisk maksimalnivå i forhold til antall hendelser". Denne enheten kommer bare til anvendelse for hendelser som forekommer på natt mellom 23 og 07, og var ment å skulle erstatte MFN på natt. L_{5AS} vil imidlertid ikke identifisere de nivå som kan skape problem for søvnforstyrrelse relatert til Figur 2-1. Antallet "hendelser" vil kunne variere fra flyplass til flyplass og fra område til område ved en og samme flyplass. Når dimensjonerende nivå defineres til å være en prosentdel, vil man derfor ikke uten videre vite hvor mange hendelser dette representerer.

Retningslinje T-1442/2012 definerer forøvrig ikke begrepet "hendelse". Det betyr at det ikke er gitt hvor mye støy som skal til for at man skal inkludere noe som en hendelse. I veilederen til T-1442/2012 [8] er dette imidlertid rettet på, slik at det er mulig å beregne størrelsen. Avklaringen i veilederen medfører at L_{5AS} beregnes som MFN på natt for tidsrommet 23–07.

Tabell 3-1. Oppsummering av måleenheter.

Måleenhet	Forklaring
L_{den}	A-veiet ekvivalent lydtryknivå for et helt døgn, korrigert for dag-, kveld- og nattperioder, henholdsvis 0 dB, 5 dB og 10 dB.
L_{5AS}	Det A-veide nivå målt med tidskonstant «Slow» på 1 sek som overskrides i 5 % av hendelsene i løpet av en nærmere angitt periode (T-1442/2012 benytter 8-timers nattperiode 23-07) dvs et statistisk maksimalnivå i forhold til antall hendelser. I beregninger erstattes måleenheten med MFN_{natt} .
$L_{p,Aeq,T}$ L_{AeqT}	Det ekvivalente lydnivået (angis også som L_{Aeq}) er et mål på gjennomsnittlig (energimidlet) nivå for støy over en bestemt periode T (oftest 24 timer).
L_{night}	A-veiet ekvivalentnivå for 8-timers nattperiode 23-07.
$L_{p,ASmax}$	A-veiet maksimalt nivå målt med tidskonstant «Slow».
MFN_{natt}	MFN_{natt} er definert som det 3dje høyeste nivå $L_{p,ASmax}$ som opptrer i perioden kl. 23-07 i løpet av en uke. Dette erstatter L_{5AS} i beregninger.

3.2 Støysoner til arealplanlegging

T-1442/2012 definerer 2 støysoner, gul og rød sone til bruk i arealplanlegging. I tillegg benyttes betegnelsen "hvit sone" om området utenfor støysonene. Kommunene anbefales også å etablere "grønne soner" på sine kart for å markere "stille områder som etter kommunens vurdering er viktige for natur- og friluftssinteresser". Hvit og grønn sone skal med andre ord ikke betraktes som støysoner.

3.2.1 Definisjon av støysoner

Støysonene defineres slik at det i ytterkant av gul sone kan forventes at inntil 10 % av en gjennomsnitts befolkning vil føle seg sterkt plaget av støyen. Det betyr at det vil være folk som er plaget av støy også utenfor støysonene.

De to støysonene er i retningslinjen definert som vist i den følgende tabell. Det fremgår at hver sone defineres med 2 kriterier. Hvis ett av kriteriene er oppfylt på et sted, så faller stedet innenfor den aktuelle sonen – det er med andre ord et "eller" mellom kolonnene.

Tabell 3-2. Kriterier for soneinndeling. Ytre grense i dB, frittfeltsverdier.

Støykilde	Støysone			
	Gul sone		Rød sone	
	Utendørs støynivå	Utendørs støynivå i nattperioden kl. 23 – 07	Utendørs støynivå	Utendørs støynivå i nattperioden kl. 23 – 07
Flyplass	L_{den} 52 dB	L_{5AS} 80 dB	L_{den} 62 dB	L_{5AS} 90 dB

3.2.2 Utarbeidelse av støysonkart og implementering i kommunale planer

Ansvar for utarbeidelse av kart som viser støysonene legges til tiltakshaver ved nye anlegg, mens anleggseier eller driver har ansvar for eksisterende anlegg. De ansvarlige oversender kartene til kommunen og har også et ansvar for å oppdatere kartene dersom det skjer vesentlige endringer i støysituasjonen. Normalt skal kartene vurderes hvert 4.–5. år.

Det skal utarbeides støysonekart for dagens situasjon og aktivitetsnivå og en prognose 10–20 år fram i tid. Kartet som oversendes kommunen skal settes sammen som en verste situasjon av de to beregningsalternativene.

Kommunene skal inkludere og synliggjøre støysonekartene i kommuneplan. Retningslinjen har flere forslag til hvordan dette kan gjøres. For varige støykilder er det foreslått å legge sonene inn på selve kommuneplankartet som støybetinget restriksjonsområde. Det anbefales at kommunene tar inn bestemmelser tilknyttet arealutnyttelse innenfor støysonene og at det skal stilles krav til reguleringsplan for all utbygging av støyømfintlig bebyggelse innenfor rød og gul sone.

Følgende regler for arealutnyttelse er angitt i retningslinjen:

- **rød sone**, nærmest støykilden, angir et område som ikke er egnet til støyfølsomme bruksformål, og etablering av ny støyfølsom bebyggelse skal unngås.
- **gul sone** er en vurderingssone, hvor støyfølsom bebyggelse kan oppføres dersom avbøtende tiltak gir tilfredsstillende støyforhold.

3.3 Beregningsmetode

Vurdering av flystøy etter Miljøverndepartementets retningslinjer gjøres kun mot støysonegrenser som er beregnet, dvs. at man ikke benytter målinger lokalt for å fastsette hvor grensene skal gå. Den beregningsmodellen som benyttes i Norge (se avsnitt 3.3.2), er imidlertid basert på en database som representerer en sammenfatning av et omfattende antall målinger. Skulle beregningene vært erstattet med målinger, så måtte det gjøres meget lange måleserier for å oppnå samme presisjonsnivå som det beregningsprogrammet gir.

Målinger kan nyttes som korrigerende supplement ved kompliserte utbredelsesforhold, ved spesielle flygeprosedyrer, eller når beregningsprogrammet eller dets database er utilstrekkelig.

3.3.1 Dimensjonering av trafikkgrunlaget

Veilederen til T-1442/2012 legger seg opp til reglene fra EU direktiv 2002/49/EC¹ om at det skal benyttes et årsmiddel av trafikken. Det betyr at støysoner skal representere et middeldøgn for hele året. Dersom trafikken er sterkt sesongpreget (turisttrafikk) brukes gjennomsnitt av de 3 måneder (på sommeren) som har mest trafikk.

Militære øvelser som forekommer minst hvert 2. år, skal inngå i trafikkgrunlaget.

3.3.2 Beregningsprogrammet NORTIM

Fra 1995 beregnes flystøy i Norge med det norskutviklede dataprogrammet NORTIM [9, 10] eller spesialutgaver av dette (REGTIM og GMTIM). Programmene er utviklet av SINTEF for de norske luftfartsmyndigheter og var opprinnelig basert på rutiner fra programmet Integrated Noise Model (INM), utviklet for det amerikanske luftfartsverket, FAA. Programmene har imidlertid gjennomgått en betydelig modernisering og har svært lite igjen av den opprinnelige kildekode.

Det unike med NORTIM er at det tar hensyn til topografiens påvirkning av lydutbredelse, samt lydutbredelse over akustisk reflekterende flater. NORTIM beregner i en og samme operasjon alle de aktuelle måleenheter som er foreskrevet i retningslinjene. Beregning av MFN og EFN er således supplert med L_{den} og L_{5AS} . Andre støymål som beregnes er blant annet ekvivalentnivået, L_{Aeq} , for dag og for natt eller for hele det

¹ EU Directive 2002/49/EC Assessment and management of environmental noise.

dimensjonerende middeldøgn. Beregningsresultatene fremkommer som støykurver (sonegrenser) som kan tegnes i ønsket målestokk. Alle resultatene leveres på SOSI filformat.

NORTIM programmene ble i 2002 endret ved at nye algoritmer for beregning av bakkedemping og direktivitet [11] ble tatt i bruk. Årsaken var at den moderne flyparken har andre karakteristika enn de som ble benyttet da de grunnleggende rutiner ble utviklet sent på 1970 tallet. De gamle rutiner var utelukkende empirisk utviklet, mens de nye er en blanding av empiri og teori. Bakkedemping er basert på en teoretisk modell [12], mens direktivitet er basert på måleserier på Gardermoen i 2001 [13] og således empiriske. Etter endringene viser sammenligninger av lang tids målinger og beregninger for tilsvarende trafikk et avvik på i gjennomsnitt under 0.5 dB [11].

Beregningsprogrammet inneholder en database for 275 ulike flytyper. Databasen er i hovedsak en kopi av INM 6.0c databasen [14] og senere oppdateringer av denne, supplert med profiler fra NOISEMAP [15] og med korrigerede støydata for 2 flyfamilier [11]. I tillegg benyttes data fra målinger foretatt av OSL for de to mest benyttede offshore helikoptre [16] og data fra fabrikken for det nye redningshelikopteret [17].

Ved bruk av en liste over substitutter for flytyper som ikke inngår i databasen, kan det beregnes støy fra omlag 650 forskjellige typer fly. I tillegg er det mulig å legge inn brukerdefinerte data for fly- og helikoptertyper som ikke er definert i databasen. I slike situasjoner hentes data fra andre anerkjente kilder eller egne målinger.

4 KARTLEGGING I HENHOLD TIL FORSKRIFT TIL FORURENSNINGSLOVEN

Forskrift om grenseverdier for lokal luftforurensning og støy ble første gitt ved kongelig resolusjon 30. mai 1997, med virkning fra 1. juli samme år. Forskriften er hjemlet i forurensningsloven, ble senest revidert i 2004 [18] og omtales nå som forurensningsforskriften.

4.1 Innendørs støy

Forurensningsforskriften fastsetter grenseverdier som skal utløse kartlegging og utredning av tiltak mot støy. Kartleggingsgrensen er satt til døgnkvikivalent nivå ($L_{Aeq,24h}$) på 35 dBA innendørs når bare en støytype dominerer. Dersom flere likeverdige kilder er til stede, senkes kartleggingsgrensen for hver støykilde med 3 dB til 32 dBA.

Flystøy beregnes for utendørs nivå. Det må derfor gjøres forutsetninger om hvor stor støyisolasjon (demping) husets fasader medfører for å kunne gjøre resultatene om til innendørsnivå. Fasadeisolasjon varierer med frekvensinnhold i støyen. Lave frekvenser (basslyder) går lettere gjennom, mens høye frekvenser (diskant) dempes bedre. Det betyr at forskjellige flytyper har ulik støydemping gjennom en fasade. Basert på Norges Byggforskningsinstitutt's utredning om fasadeisolasjon [19], som er revidert av Brekke og Strand [20], er det valgt tre forskjellige tall for fasadeisolasjon avhengig av hvilke flytyper som er støymessig dominant på hver flyplass. Grenseverdi for kartlegging baseres på hustyper ført opp i 1970 eller senere. Ut fra dette gjelder følgende grenseverdier for beregnet utendørs døgnkvikivalent nivå ($L_{Aeq,24h}$):

Tabell 4-1. Kartleggingsgrenser i henhold til forurensningsloven.

Flyplasstype	Støymessig dominerende flytype	Minimum fasadeisolasjon i vanlig bebyggelse	Kartleggingsgrense relativt til frittfeltsnivå
Regionale flyplasser	Propellfly	19 dBA	54 dBA (35+19)
Stamruteplasser / militære flyplasser	Jagerfly	25 dBA	60 dBA (35+25)
Stamruteplasser	Støysvake jetfly	27 dBA	62 dBA (35+27)

Beregninger foretatt i den reviderte rapporten [20] viser tilsvarende normtall for fasadeisolasjon for offshore helikopter er på 23 dB for bygningstyper oppført etter 1970. De fleste bygninger rundt flyplassene har imidlertid høyere reduksjonstall og eksponeres av støy også fra andre deler av flytrafikken. Målinger utført på bygninger rundt de to største offshorebasene har således vist eksempler på at fasadeisolasjon mot denne typen trafikk kan ligge i størrelsesorden 26 dB [21] eller høyere. Kartleggingsgrense basert på tabell 4.1 (Stamruteplasser) benyttes derfor også for disse flyplassene.

Tiltak på bygninger skal gjøres dersom innendørs støynivå overstiger 42 dBA døgnkvikivalent nivå. En tentativ tiltaksgrense vil derfor ligge 7 dB over den kartleggingsgrense som for hvert tilfelle framkommer av tabellen over.

4.1.1 Strategisk støykartlegging

Strategisk støykartlegging gjennomføres for å tilfredsstille EU direktiv 2002/49/EC, befolkningens behov for informasjon og som grunnlag for handlingsplaner. Forskriften gir i vedlegg minstekrav til hva som skal beregnes og rapporteres. Denne del av kartleggingen gjelder for utendørs nivå og det er krav til flere støykart, opptelling av antall boliger og andre bygninger med støyømfintlig bruksområde innenfor intervaller av støynivå for både L_{den} og L_{night} .

Strategisk støykartlegging skal utføres på flyplasser med mer enn 50 000 sivile bevegelser pr år. I dette tallet inngår ikke militær trafikk eller skoleflyging, men denne trafikken skal likevel regnes med når kartleggingen foretas.

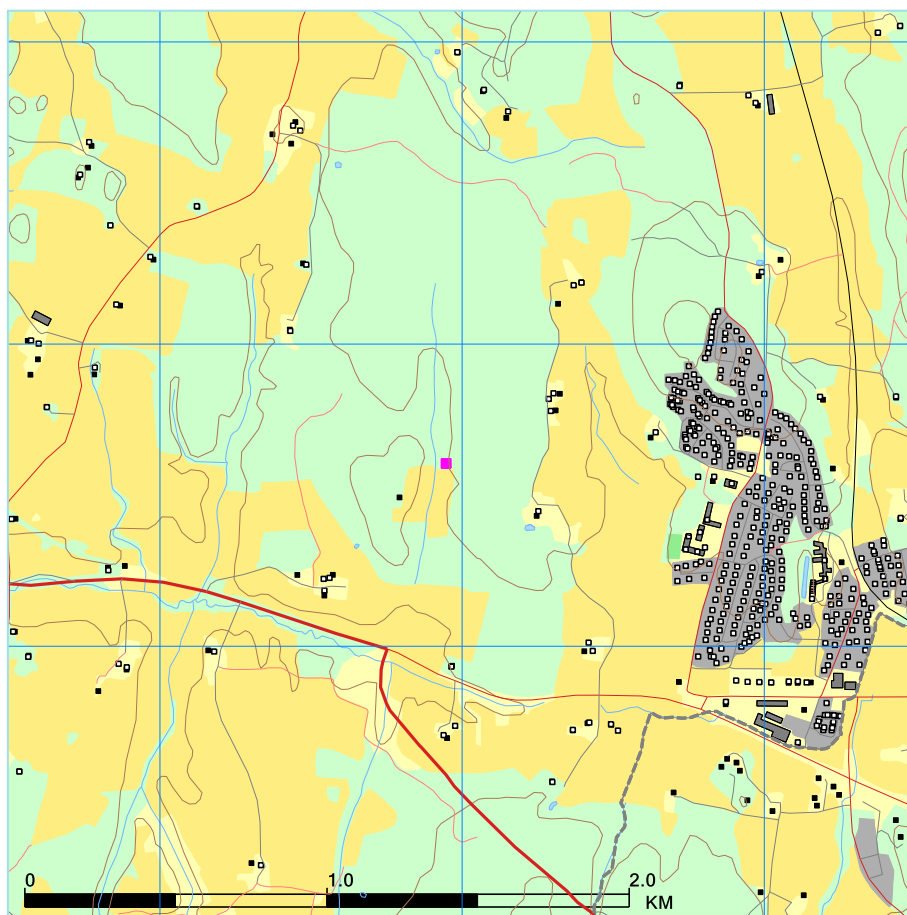
5 OMGIVELSER

I beregningen av flystøy legges digitalt kart og terreng inn som grunnlag.

5.1 Digitalt kartgrunnlag og topografi

Digitalt kartgrunnlag og topografi er hentet fra Kartverket sine gratis tjenester, ref. [22]. Kartunderlaget er basert på N50 serien i UTM Euref89 sone 33, mens topografien er representert med en punkttetthet på 10 x 10 meter.

I figuren under er landingsplassen, slik den inngår i beregningene, markert med rosa. Videre er bygninger med støyfølsomt bruksformål markert med et kvadrat på referansepunktet. Data for disse bygningene er hentet fra Norsk Eiendomsinformasjon via Infoland i februar 2016. Tettbebyggelsen øst for landingsplassen er Knapstad.



Figur 5-1 Landingsplassen markert med rosa firkant. M 1:25 000.

Origo for landingsplassen er lagt inn som E 274947 N6616605 i UTM sone 33. Landingsplassen modelleres som en flate på 30x30 meter.

6 TRAFIKKSAMMENSETNING

Landingsplassen er beregnet for ikke allmenn bruk og kun for VFR flyforhold med åpningstider 07-23 på hverdager og 08-22 på søn- og helligdager. Det er angitt følgende døgnfordeling av trafikken:

- 07-09 10 %
- 09-20 85 %
- 20-23 5 %

Ettersom kveld i retningslinjen er definert fra kl. 19 er det antatt at 10 % av trafikken ligger i dette døgnssegmentet.

Landingsplassen vil benyttes av helikoptre med startvekt under 5 700 kg og trafikken fordeles på flytyper som vist i den følgende tabellen. Det er regnet at alle helikoptertypene har den samme døgnfordelingen.

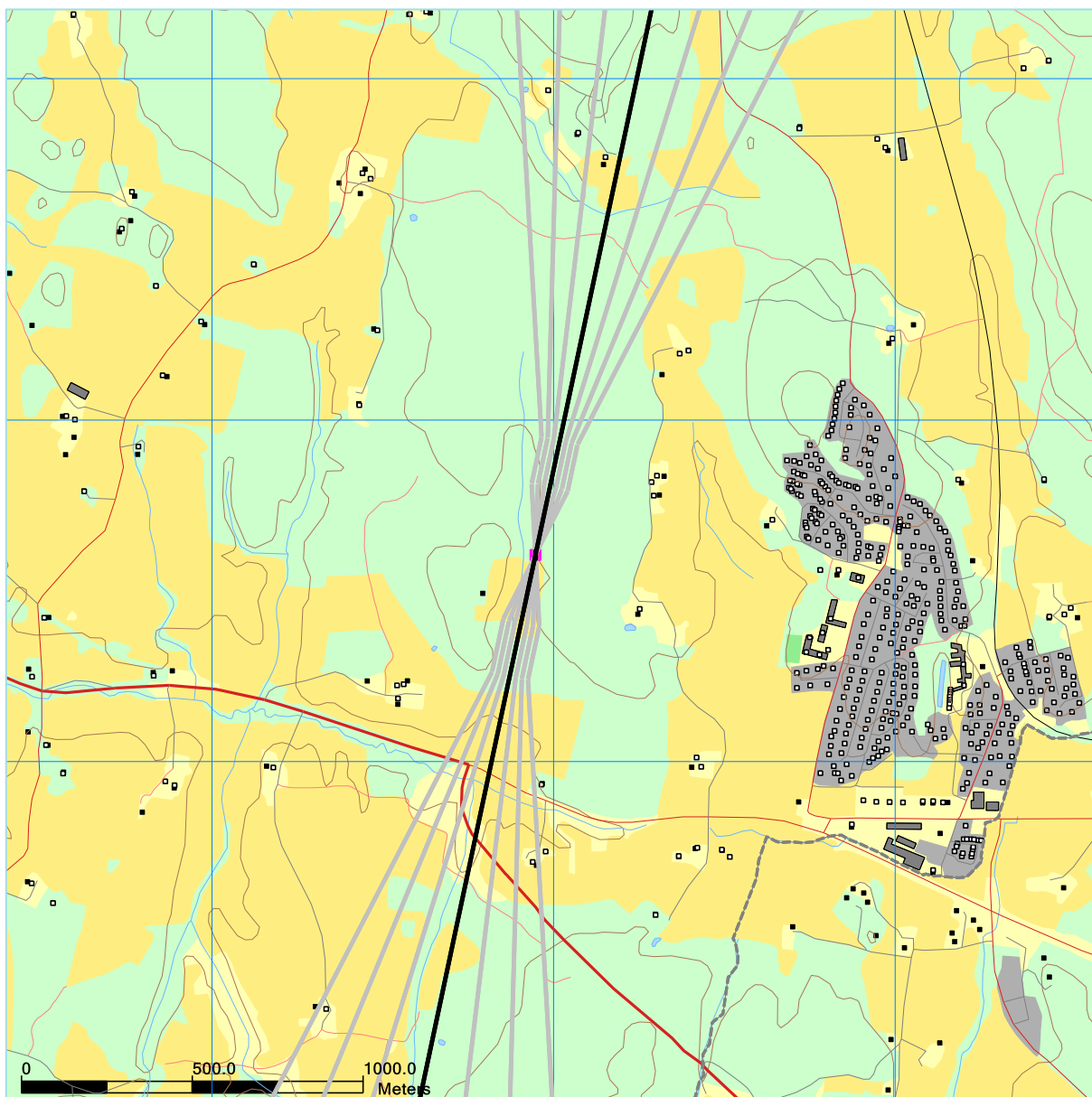
Tabell 6-1 Antall landinger og avganger pr kalenderår fordelt på flytyper.

ACtype	TO_LA	SumOper
AS350	LA	300
AS350	TO	300
EC120	LA	250
EC120	TO	250
EC135	LA	100
EC135	TO	100
R44	LA	350
R44	TO	350

Helikoptrene modelleres med standard inn- og utflygingsprofiler og med støydata fra NORTIM databasen. Det legges i tillegg inn oppstarts- og nedkjølingsprosedyrer på bakken. Det er antatt gjennomsnittlig 3 minutter på oppvarming og 2 minutter på nedkjøling for hver operasjon.

7 TRAFIKKMØNSTER

Det er antatt at det vil etableres hinderfrie korridorer i tråd med BSL E3-6 med 180° separasjon. Etter anvisning fra oppdragsgiver er retningene lagt inn som vist i kartet under her. Det er lagt inn en sideveis spredning som tilsvarer normal bredde på hinderfrie korridorer og en større spredning ca. 360 meter fra landingsplassen. Utenfor dette punktet vil sving mot destinasjon kunne gjøres, men dette er forenklet ettersom det ikke forventes at støysonene vil strekke seg så langt ut. I beregningen legges det inn en 50/50 fordeling på retningene.

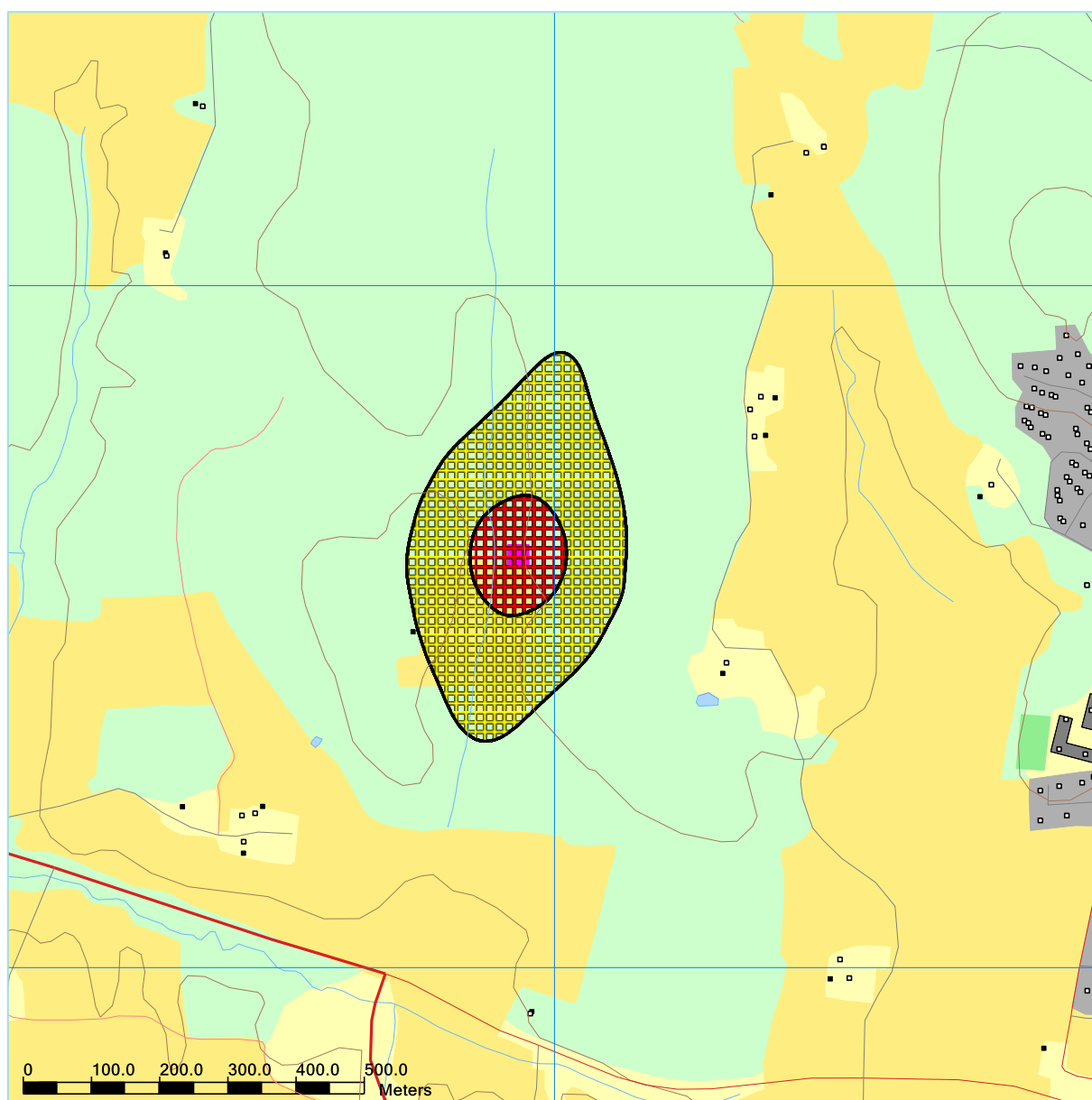


Figur 7-1 Traseer for inn- og utflyging til landingsplassen med sideveis spredning. M 1:20 000.

8 BEREGNINGER OG RESULTATER

Beregninger med NORTIM gjøres i en regulær grid rund landingsplassen med punkttetthet på 64 x 64 fot, tilsvarende omlag 19.5 x 19.5 meter. Dette er normalt høyeste oppløsning i beregninger. I tillegg beregnes støynivå på hver enkel bygning med støyfølsomt bruksformål innenfor beregningsområdet. Beregningsområdet strekker seg ut over de områder som har L_{DEN} lavere enn 40 dBA.

Resultatet fra beregningen vises i form av støysonekartet under. I og med at det ikke er nattrafikk, så er det L_{DEN} som dimensjonerer støysonene. Yttergrensen av gul sone bestemmes av L_{DEN} 52 dBA og yttergrensen av rød sone er definert av L_{DEN} 62 dBA.



Figur 8-1 Støysoner etter T-1442/2012 for Holt helikopterlass Hobøl. M 1:10 000.

Gul sone dekker et areal på 105.5 dekar, mens rød sone utgjør 19.3 dekar. Som kartet viser er det ingen bygninger med støyømfintlig nivå innenfor støysonene.

9 LITTERATUR

- [1] B. Griefahn, "MODELS TO DETERMINE CRITICAL LOADS FOR NOCTURNAL NOISE," in *Proceedings of the 6th International Congress on Noise as a Public Health Problem*, Nice, Frankrike, juli 1993.
- [2] T. Gjestland, "VIRKNINGER AV FLYSTØY PÅ MENNESKER," ELAB-rapport STF44 A82032, Trondheim, april 1982.
- [3] Flystøykommissjonen, "STØYBEGRENSNING VED BODØ FLYPLASS," Rapportnr. TA-581, Oslo, mars 1983.
- [4] T. Gjestland, K. H. Liasjø, I. L. N. Granøien, and J. M. Fields, "RESPONSE TO NOISE AROUND OSLO AIRPORT FORNEBU," ELAB-RUNIT Report STF40 A90189, Trondheim, november 1990.
- [5] T. Gjestland, K. H. Liasjø, and I. L. N. Granøien, "RESPONSE TO NOISE AROUND VÆRNES AND BODØ AIRPORTS.," SINTEF DELAB Report STF40 A94095, Trondheim, august 1994.
- [6] A. Krokstad, O. K. Ø. Pettersen, and S. Å. Storeheier, "FLYSTØY; FORSLAG TIL MÅLEENHETER, BEREGNINGSMETODE OG SONEINDELING," ELAB-rapport STF44 A81046, revidert utgave, Trondheim, mars 1982.
- [7] Miljøverndepartementet, "RETNINGSLINJE FOR BEHANDLING AV STØY I AREALPLANLEGGING," Retningslinje T-1442, Oslo, juli 2012.
- [8] Miljødirektoratet, "VEILEDER TIL RETNINGSLINJE FOR BEHANDLING AV STØY I AREALPLANLEGGING (T-1442/2012)," Veileder M-128, Oslo, februar 2014.
- [9] H. Olsen, K. H. Liasjø, and I. L. N. Granøien, "TOPOGRAPHY INFLUENCE ON AIRCRAFT NOISE PROPAGATION, AS IMPLEMENTED IN THE NORWEGIAN PREDICTION MODEL – NORTIM," SINTEF DELAB Report STF40 A95038, Trondheim, april 1995.
- [10] R. T. Randeberg, H. Olsen, and I. L. N. Granøien, "NORTIM VERSION 3.3. USER INTERFACE DOCUMENTATION," Report SINTEF A1683, Trondheim, juni 2007.
- [11] I. L. N. Granøien, R. T. Randeberg, and H. Olsen, "CORRECTIVE MEASURES FOR THE AIRCRAFT NOISE MODELS NORTIM AND GMTIM: 1) DEVELOPMENT OF NEW ALGORITHMS FOR GROUND ATTENUATION AND ENGINE INSTALLATION EFFECTS. 2) NEW NOISE DATA FOR TWO AIRCRAFT FAMILIES," SINTEF Report STF40 A02065, Trondheim, desember 2002.
- [12] B. Plovsing and J. Kragh, "COMPREHENSIVE OUTDOOR SOUND PROPAGATION MODEL," Nord2000 DELTA Report, Lyngby, desember 2000.
- [13] S. Å. Storeheier, R. T. Randeberg, I. L. N. Granøien, H. Olsen, and A. Ustad, "AIRCRAFT NOISE MEASUREMENTS AT GARDERMOEN AIRPORT, 2001. Part 1: SUMMARY OF RESULTS," SINTEF Report STF40 A02032, Trondheim, mars 2002.
- [14] G. Fleming, J. D'Aprile, J. Gulding, J. Olmstead, and P. Gerbi, "INTEGRATED NOISE MODEL (INM) VERSION 6.0 TECHNICAL MANUAL," U.S. Department of Transportation, Washington DC, juni 2001.
- [15] W. R. Lundberg, "BASEOPS DEFAULT PROFILES FOR TRANSIENT MILITARY AIRCRAFT," AAMRL-TR-90-028, Harry G. Armstrong, Aerospace Medical Research Laboratory, Wright-Patterson AFB, Ohio, februar 1990.
- [16] O. AS, "Noise Measurements on EC 225 and S 92 helicopters for development of NPD-data," August 2015 August 2015.
- [17] AgustaWestland, "AW101-612 External Noise Data for NAW SARH Environmental Impact Studies," October 2014
- [18] Miljøverndepartementet, "FORSKRIFT OM BEGRENSNING AV FORURENSNING (FORURENSNINGSFORSKRIFTEN)," Forskrift FOR-2004-06-01-931 (Del 2, kapittel 5), Oslo, juni 2004.
- [19] A. Brekke, "NYE RETNINGSLINJER FOR FLYSTØY. KONSEKVENSER VEDRØRENDE STØYISOLERING AV BOLIGER I STØYSONE I OG II," Norges byggforskningsinstitutt rapport 7939, revidert utgave, Oslo, juni 1998.

- [20] A. Brekke, "ISOLERING MOT STØY FRÅ HELIKOPTER OG ULIKE FLYTYPER. ENTALLSVERDIER FOR STØYISOLERING FOR ULIKE BOLIGTYPER.," Notat fra Brekke og Strand til OSL AS, Aku 01 C, oktober 2013.
- [21] E. Osmundsen, "MÅLING AV FASADEISOLERING OG BEREKNING AV INNENDØRS STØYNIVÅ VED STAVANGER LUFTHAVN, SOLA," Miljøakustikk AS2011.
- [22] Statkart. *Digital terrengmodell 10 m UTM 33 og N50 kart* © Kartverket Available: <http://www.statkart.no/Kart/Gratis-kartdata/>



Teknologi for et bedre samfunn

www.sintef.no